михина Л. П., Киселев В. Ф., Любимов Ю. А. Препринт физ. фак. МГУ № 22. М., 1986. [6] Эйзенберг Д., Кауцман В. Структура и свойства воды. Л., 1975. С. 227. [7] Антонченко В. Я. Микроскопическая теория воды в порах мембран. Киев, 1983. [8] Антонченко В. Я. Физика воды. Киев, 1986.

Поступила в редакцию 11.02.87

ВЕСТН. МОСК. УН-ТА. СЕР. 3. ФИЗИКА. АСТРОНОМИЯ. 1988. Т. 29, № 3

ФИЗИКА ТВЕРДОГО ТЕЛА

УДК 537.311

ЭЛЕКТРОННЫЕ СВОЙСТВА ГЕТЕРОИНТЕРКАЛИРОВАННОГО СОЕДИНЕНИЯ ВНЕДРЕНИЯ В ГРАФИТ ПЕРВОЙ СТУПЕНИ С_{In}Cucl₂-0.61Cl

Н. Б. Брандт, В. А. Кульбачинский, О. М. Никитина, В. В. Авдеев, В. Я. Аким, С. Г. Ионов, К. Н. Семененко

(кафедра физики низких температур)

Впервые синтезированы квазимонокристаллы соединения внедрения в графит первой ступени $C_{10}CuCl_2 \cdot 0,6ICl$ с чередующимися слоями хлорида меди ($CuCl_2$), графита и монохлорида иода (ICl). Обнаружено две группы носителей тока, определены их параметры.

Соединения внедрения в графит (СВГ), получаемые при внедрении различных атомов и молекул в межплоскостное пространство графитовой матрицы, обладают высокими значениями электропроводности в базисной плоскости ($\sigma_{\alpha} \sim 5 \div 6 \cdot 10^7 \; \text{Om}^{-1} \cdot \text{m}^{-1}$) при комнатной температуре, что позволяет отнести их к классу так называемых синтетических металлов [1]. Для объяснения высокой электропроводности и других физических свойств СВГ важно получить информацию об энергетическом спектре носителей тока в этих соединениях. Несмотря на большое количество синтезированных СВГ поиск новых соединений и исследование их электрофизических свойств остается актуальной задачей. Для практических приложений важны вещества, имеющие низкое значение удельного сопротивления ρ и обладающие одновременно повышенной химической и термической стойкостью.

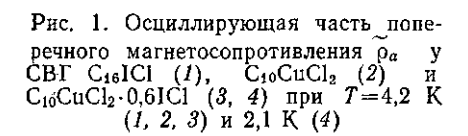
В настоящей работе впервые синтезированы совершенные квазимонокристаллы СВГ нового типа, в которых в качестве лигандов использованы два различных хлорида (IC! и $CuCl_2$). Для получения интеркалированных соединений использовался высококачественный пиролитический графит с углом разориентации кристаллов по отношению к оси «с» менее 0,5°. Синтез соединения $C_{10}CuCl_2 \cdot 0,6ICl$ проводился в два этапа: сначала синтезировалось СВГ хлорида меди 2-й ступени — N=2 (N — число графитовых сеток между двумя ближайшими слоями внедренного вещества), затем соединение $C_{10}CuCl_2$ интеркалировалось монохлоридом иода до получения 1-й ступени.

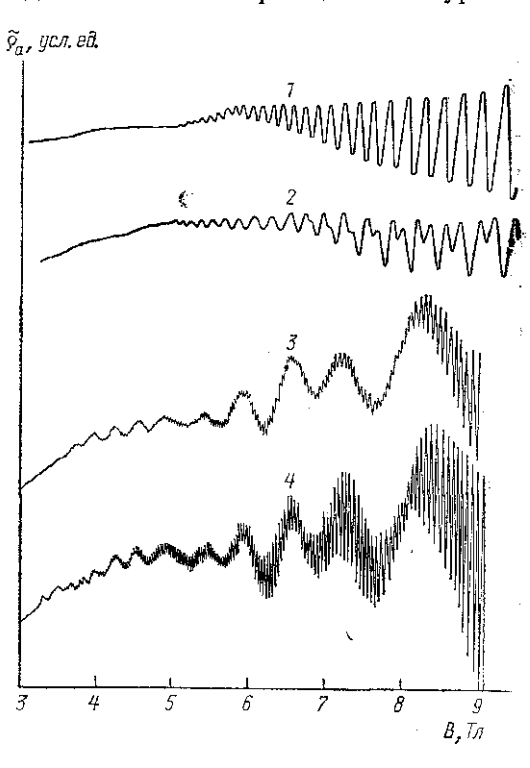
Синтез СВГ хлорида меди проводился в атмосфере хлора в двух-секционной ампуле из кварца, в одну часть которой помещался образец графита размерами 1.5×5 мм и толщиной ~0.5 мм, а в другую — внедряемое вещество. Ампула нагревалась таким образом, что температура секции с графитом была несколько выше, чем температура секции с CuCl₂ (610 и 600° C соответственно). Внедрение монохлорида иода проводилось из жидкой фазы при температуре 44° C, номер

ступени и состав полученных СВГ контролировались при помощи рентгенофазового и гравиметрического анализов. Рентгенофазовый анализ проводился на дифрактометре Дрон-2 (Со- K_{α} излучение, длина волны λ =1,79021 Å). При внедрении интеркалята в графит расстояние между углеродными сетками увеличивается, а размеры шестиугольников в базисной плоскости практически не изменяются [2, 3]. В образовавшемся СВГ 1-й ступени последовательность слоев следующая: слой графита — слой хлорида меди — слой графита — слой монохлорида иода — слой графита — и т. д., состав отвечает формуле $C_{10}CuCl_2 \cdot 0.6ICl$, период идентичности I_c =16,56 Å. В таблице приведены периоды идентичности для СВГ вторых ступеней монохлорида иода и хлорида меди.

У гетероинтеркалированного СВГ С₁₀СuCl₂·0,6ICl впервые обнаружены и исследованы квантовые осцилляции поперечного магнетосопротивления — эффект Шубникова — де Гааза (ШдГ). На рис. 1 приведены осцилляции поперечного магнетосопротивления $\tilde{\rho}_a$ (магнитное поле B параллельно оси «c» и перпендикулярно току, протекающему в базисной плоскости) у С₁₆ICl (I), С₁₀CuCl₂ (I) и С₁₀CuCl₂× ×0,6ICl (I), У С₁₀CuCl₂ наблюдается спиновое расщепление уров-

ней в магнитном поле $B \gg 7$ Тл (кривая 2). Отношение спинового расщепления к орбитальному $\gamma = 0.37$, что приводит к минимальному значению фактора $g=2\gamma m_0/m^*\approx 8$. Впервые у гетеро-СВГ 1-й ступени эффект ШдГ является суперпозицией двух частот (низкой и высокой), на каждой из которых наблюдаются биения двух близких частот. Такой спектр частот соответствует поверхности Ферми (ПФ) из двух коаксиальных гофрированных вдоль оси «с» цилиндров с двумя центральными сечениями: максимальным S_1^K внешнего и минимальным S_{2}^{K} внутреннего цилиндров. На границе зоны Бриллюэна при снятии вырождения воз-





никают еще два экстремальных сечения: минимальное S_1^H внешнего и максимальное S_2^H внутреннего цилиндров. Значения сечений приведены в таблице. Гофрировка ПФ возникает из-за взаимодействия соседних углеродных слоев в СВГ [4]. Эффективные массы дырок, определенные по температурной зависимости амплитуд осцилляций ШдГ, приведены в таблице. Поскольку температура Дингла у исследованных образцов не зависит от температуры в области $T \leq 4,2$ К, такой способ определения m^* является правомерным.

Значения экстремальных сечений $S_{\text{экстр}}$, эффективных масс m^*/m_0 , периодов идентичности I_c , концентрации дырок p, длины свободного пробега Λ при $20^{\circ}\mathrm{C}$, электропроводности σ_a при $20^{\circ}\mathrm{C}$, подвижности μ , времени релаксации τ у исследованных образцов

Соединение	Номер ступени <i>N</i>	$S_{ m sectp} imes 10^{12}$, cm ⁻²	m*/m ₀	I _c , Å	p×10 ⁻²⁶ , m ⁻³
€10CuCl₂	2	164	0,091	12,75	1,3
C ₁₆ ICl	2	265	0,132	10,47	2,6
C ₁₀ CuCl ₂ ⋅6ICl	1	$S_1^K = 1020$ $S_1^H = 1000$ $S_2^K = 54$ $S_2^H = 62$	0,30÷0,38	16,56	6,5

П родолжение

Соединение	Номер ступени <i>N</i>	⟨Λ⟩×10 ⁻³ , Å	$\sigma_a \times 10^{-7}, \text{OM}^{-1}, \text{M}^{-1}$	(μ), м²/(В·с)	(τ)×10 ¹² , c
C ₁₀ CuCl ₂	2	2,7	1,2	0,58	0,3
Ć ₁₆ ICI	2	3,7	2,8	0,65	0,41
C ₁₀ CuCl ₂ ·6ICl	1	2,4	2,5	0,1 0,3	0,55

Исследование угловых зависимостей частот осцилляций Π д Γ при отклонении магнитного поля от направления оси «c» до θ = 20° не обнаружило отклонения $\Pi\Phi$ от двух коаксиальных цилиндров, ориентированных вдоль тригональной оси «c», с точностью $\sim 5\%$ для большого сечения S_1^K и $\sim 10\%$ для меньшего S_2^K . К сожалению, из-за эффекта падения амплитуды осцилляций при отклонении B от направления оси «c» [5] не удалось провести измерения при больших значениях углов θ . Если считать $\Pi\Phi$ состоящей из двух цилиндров, то объемную концентрацию дырок можно оценить по формуле

$$p = \frac{4\sum_{i} S_{i}}{(2\pi\hbar)^{2} [d_{c} + (N-1) d_{0}]}, \tag{1}$$

где S_i — экстремальное значение сечения $\Pi\Phi$, d_c — толщина слоя интеркалята, d_0 =3,35 Å — параметр кристаллической решетки графита. Рассчитанные концентрации приведены в таблице.

Коэффициент Холла $R_{\rm x}$ у всех исследованных соединений при гелиевых температурах положителен, т. е. проводимость дырочная. У $C_{10}{\rm CuCl_2}\cdot 0.61{\rm Cl}$ для пяти исследованных образцов $R_{\rm x}\approx 2.1~{\rm cm^3/K}$ л и при $B\!\geqslant\!1$ Тл не зависит от индукции магнитного поля вплоть до $B\!=\!10$ Тл.

Из формулы Друде—Лоренца можно оценить длины свободного пробега Λ , времена релаксации τ , подвижности μ :

$$\Lambda = \frac{\sigma_a}{e^2} \left[\sum_i \frac{p_i}{p_{F_i}} \right]^{1/2} = \frac{\sigma_a (2\pi\hbar)^2}{4e^2} \frac{d_c + (N-1) d_0}{\sum_i (\pi S_i)^{1/2}}; \tag{2}$$

$$\tau = \Lambda m^* (\pi/S)^{1/2}; \quad \mu = e\Lambda/p_F.$$

Здесь индекс i — номер группы дырок, p_{F_i} — их фермиевский импульс. Вычисленные значения Λ , τ , μ (μ — для $C_{16}ICl$ и $C_{10}CuCl_2$) приведены в таблице. Из величин m^* и τ можно оценить, что уже при $B\geqslant 1$ Тл образец находится в предельно сильных магнитных полях, которые определяются соотношением $\omega\tau\gg 1$, где ω — циклотронная частота. Для СВГ $C_{10}CuCl_2\cdot 0$,6ICl это позволяет определить концентрацию дырок по формуле $p_1+p_2=1/(ceR_x)=3$,0 · 10^{20} см $^{-3}$, что меньше концентрации, рассчитанной по формуле (1). Расхождение может быть связано с тем, что ПФ представляет собой гофрированные цилиндры, что не учтено в формуле (1). Для $C_{16}ICl$ и $C_{10}CuCl_2$ обе концентрации совпадают.

Для расчета подвижностей у СВГ $C_{10}CuCl_2 \cdot 0,6ICl$ с двумя группами дырок воспользуемся формулами

$$R_{x} = \frac{\alpha \left(p_{1}\mu_{1}^{2} + p_{2}\mu_{2}^{2}\right)}{e\left(p_{1}\mu_{1} + p_{2}\mu_{2}\right)^{2}}; \quad \frac{\Delta \rho}{\rho B^{2}} = \frac{p_{1}\mu_{1}p_{2}\mu_{2}\left(\mu_{1} + \mu_{2}\right)^{2}}{c^{2}\left(p_{1}\mu_{1} + p_{2}\mu_{2}\right)^{2}}.$$
 (3)

По энергетическому спектру носителей тока, приведенному для данного СВГ в работе [4], оцениваются p_1 и p_2 . Полагая в (3) фактор $\alpha=1$, можно рассчитать обе подвижности (см. таблицу).

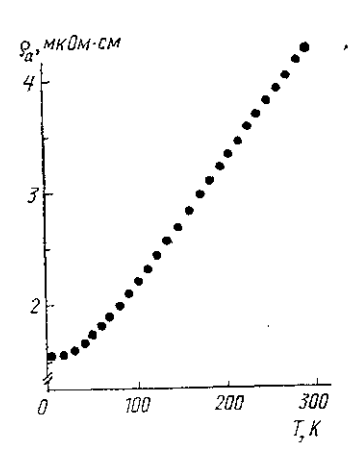


Рис. 2. Зависимость удельного сопротивления ρ_{α} у одного из образцов СВГ $C_{10}CuCl_2 \cdot 0.6ICl$ от температуры

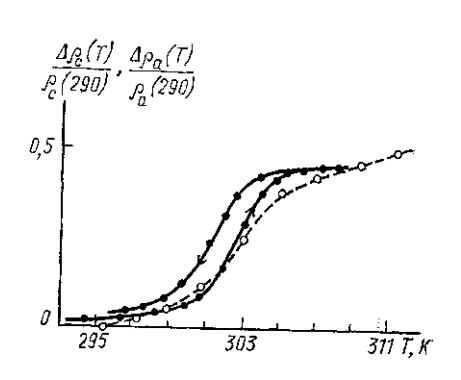


Рис. 3. Зависимости относительного изменения сопротивления вдоль оси «с» ρ_c (черные точки) и в базисной плоскости ρ_a (светлые точки) от температуры у СВГ С₁₀СuCl₂·0,6ICl в области фазового перехода

Электропроводность σ_{α} соединения $C_{10}CuCl_2\cdot 0,6ICl$ в базисной плоскости возрастает более чем в десять раз по сравнению с исходным графитом и по измерениям бесконтактным методом равна $2.5\cdot 10^7$ Ом $^{-1}\cdot \text{M}^{-1}$, т. е. почти такая же, как у алюминия при тех же условиях. Температурная зависимость удельного сопротивления в ба-

зисной плоскости приведена на рис. 2. При понижении температуры ho_a уменьшается по линейному закону до $T \approx 70$ K, далее по степенному с показателем степени, приблизительно равным двум. Отношение сопротивления при комнатной и гелиевой температурах варьировалось от образца к образцу и составляло $\rho_{300}/\rho_{4,2}=3,5\div5$. Относительно небольшое падение сопротивления свидетельствует о слабом электронфононном взаимодействии у этого соединения.

Исследование зависимости сопротивления от температуры в облапри T = 303 K yсти температур выше комнатной обнаружили ${}^{\circ}C_{10}CuCl_{2}\cdot ICl$ скачок сопротивления как в базисной плоскости (ρ_{a}), так и вдоль оси «c» (ho_c) — рис. 3. Скачок обусловлен фазовым переходом типа «порядок — беспорядок» и связан с плавлением слоев монохлорида иода в СВГ. Характерный гистерезис $\rho_c(T)$ свидетельствует о фавовом переходе первого рода. Необходимо отметить, что температура фазового перехода у СВГ C_8 ICl составляет ~ 306 K, а для C_{16} ICl она равна ~ 310 К. У СВГ C_{10} Си Cl_2 фазовый переход такого типа не наблюдается. Уменьшение температуры фазового перехода у гетероинтеркалированного соединения связано, по-видимому, с уменьшением энер-Тии взаимодействия молекул монохлорида иода в слое с комплексами CuCl₂⁸— вследствие электростатического отталкивания.

Появление новых свойств у гетероинтеркалированных соединений по сравнению с моноинтеркалятами открывает интересные перспективы получения СВГ с высокой электропроводностью

стойкостью.

СПИСОК ЛИТЕРАТУРЫ

[1] Dresselhaus M. S., Dresselhaus G.//Adv. in Phys. 1981. 30, N 2. P. 139. [2] Krapchev T., Ogilvive F., Dresselhaus M. S.//Carbon. 1982. 20, N 4. P. 331. [3] Nixon D. E., Parry G. S.//J. Phys. 1969. 2, N 5. P. 1732. [4] Аким В. Я., Давыдов В. Н., Кульбачинский В. А., Никитина О. М.///Письма в ЖЭТФ. 1987. 45, № 12. С. 568. [5] Брандт Н. Б., Давыдов В. Н., Кульбачинский В. А., Никитина О. М.//ФТТ. 1987. 29, № 6. С. 1001.

Поступила в редакцию 17.06.87

ВЕСТН, МОСК, УН-ТА, СЕР. 3. ФИЗИКА, АСТРОНОМИЯ, 1988. Т. 29, № 3

УДК 539.21

ЛОКАЛИЗАЦИЯ КОЛЕБАТЕЛЬНЫХ МОД В ПОЛУМАРКОВСКОЙ НЕУПОРЯДОЧЕННОЙ СИСТЕМЕ

С. Д. Бенеславский, И. Б. Копылова

(кафедра физики низких температур)

Исследован процесс рапространения акустических колебаний в системе со слабым случайным нарушением периодичности. Рассчитаны корреляционная функция и показатель экспоненциального роста амплитуды колебаний, отражающие периодичность исходной системы.

Обычно при исследовании процесса распространения колебаний в неупорядоченной системе предполагается, что неупорядоченность, связанная со случайными изменениями параметров системы, характеризуется стохастическим процессом марковского типа [1]. Такие модели описывают, как правило, полностью неупорядоченную относительно случайных параметров систему. Если мы рассматриваем распространение акустических колебаний в аморфной однокомпонентной среде